

## 一系列具有 CHA 结构的过渡金属取代磷酸铝的合成与表征

段芳正 李激扬 丁红 于吉红 徐如人\*

(吉林大学化学学院, 无机合成与制备化学国家重点实验室, 长春 130012)

关键词: 水热合成; 磷酸铝; CHA 结构; 过渡金属取代

中图分类号: O614.7+1; O614.3+1; O614.81+2 文献标识码: A 文章编号: 1001-4861(2008)08-1343-04

### Syntheses and Characterizations of a Series of Transition Metal-substituted Aluminophosphates with CHA Topology

DUAN Fang-Zheng LI Ji-Yang DING Hong YU Ji-Hong XU Ru-Ren\*

(State Key Lab of Inorganic Synthesis and Preparative Chemistry, College of Chemistry, Jilin University, Changchun 130023)

**Abstract:** Open-framework metal-substituted aluminophosphates have attracted more attentions owing to their interesting structural chemistry and potential applications in catalysis and ion exchange. A series of metal-substituted aluminophosphates with CHA topology (denoted as MeAPO-CHA (Me=Mn, Zn and Co)) have been prepared under the hydrothermal conditions. XRD shows that they possess the same topology. MnAPO-CHA ( $Mn_2Al_4(PO_4)_6[Ni(DETA)_2]$ ) crystallizes in the space group  $R\bar{3}$  with  $a=1.387\ 0(2)$  nm,  $c=1.522\ 2(2)$  nm,  $V=2.536\ 0(7)$  nm<sup>3</sup>,  $Z=3$ . The linkages of  $AlO_4(MnO_4)$  tetrahedra and  $PO_4$  tetrahedra through vertex oxygen atoms form the open-framework  $[Mn_2Al_4(PO_4)_6]^{2-}$ . Notably, the Mn/Al ratio in MnAPO-CHA is 1/2 that Al and Mn atoms share the same position, which is the highest as far as we have known in compounds with CHA topology. Self-assembled nickel complexes locate in the CHA-cages to neutralize the negative charge of the framework. CCDC: 688179.

**Key words:** hydrothermal synthesis; aluminophosphate; CHA structure; transition metal-substitution

自从 1982 年, 美国联合碳化公司开发出一系列磷酸铝微孔化合物( $AlPO_4-n$ )以来, 人们利用水热、溶剂热以及离子热技术, 已经有 200 余种不同结构类型的磷酸铝开放骨架化合物被合成出来<sup>[1-3]</sup>。这类化合物在催化、分离、气体吸附、离子交换等领域有着广泛的应用, 此外在传感、发光等方面也有着潜在的应用价值。中性骨架磷酸铝是由  $AlO_4$  与  $PO_4$  严格交替排列而成的,  $Al/P$  为 1/1。近年来, 人们试图将其它元素掺杂到磷酸铝骨架中, 可以产生一些新颖的骨架结构和特殊的性质。如 Be, Mg, Ca, Sr, Ba,

Ti, V, Cr, Mn, Fe, Co, Ni, Cu, Zn, Ge, Cd, Ga, Eu, As, Si 等金属与非金属元素<sup>[4-6]</sup>, 它们取代骨架中的 Al 或 (和)P, 产生了独特的催化和光学性质<sup>[7-9]</sup>。

过渡金属取代磷酸铝分子筛通常是利用有机胺作为结构导向剂。质子化的有机胺存在于孔道中, 平衡骨架负电荷。近年来, 过渡金属配合物被引入到合成体系中代替有机胺作为结构导向剂<sup>[10,11]</sup>。例如, 以  $Ni(tmtact)^{2+}$  为模板剂可以合成具有 SAS 结构的金属取代磷酸铝  $Ni-MgAlPO$ ,  $Ni-MnAlPO$  和  $Ni-ZnAlPO$ <sup>[12]</sup>。

收稿日期: 2008-05-19。收修改稿日期: 2008-06-25。

国家自然科学基金(No.2006CB806103)及国家基础研究资助项目(No.2007CB936402)。

\*通讯联系人。E-mail: rrxu@mail.jlu.edu.cn

第一作者: 段芳正, 女, 27 岁, 博士生; 研究方向: 分子工程学。

这里,我们利用原位合成的  $\text{Ni}(\text{DETA})_2^{2+}$  离子为结构导向剂,制备了一系列具有CHA结构的过渡金属取代磷酸铝化合物MeAPO-CHA(Me=Mn,Zn和Co),并对MnAPO-CHA进行了X射线单晶衍射结构分析,XRD,ICP,元素分析,差热-热重分析等表征。

## 1 实验部分

### 1.1 试剂与仪器

异丙醇铝(分析纯),乙酸镍(分析纯),氯化锰(分析纯),氯化锌(分析纯),氯化钴(分析纯),磷酸(优级纯),二乙烯三胺(化学纯)。

单晶衍射数据在Siemens Smart CCD衍射仪上收集;X射线粉末衍射用德国Siemens D5005型X射线衍射仪测定,采用铜靶,波长为0.154 18 nm;组成分析分别在Perkin-Elmer 2400LS型元素分析仪上和Perkin-Elmer Optima3300 DV等离子发射光谱仪上测定;热重分析在Perkin-Elmer TG-7热重分析仪上进行,空气气氛,升温速率为 $10\text{ }^{\circ}\text{C}\cdot\text{min}^{-1}$ ,温度范围40~800  $^{\circ}\text{C}$ 。

### 1.2 合成

0.17 g 经研磨的异丙醇铝加入到10.0 mL去离子水中,然后加入0.2 g 乙酸镍,搅拌均匀后加入0.16 g 氯化锰(0.12 g 氯化锌或0.2 g 氯化钴),搅拌一段时间后,加入0.4 mL 二乙烯三胺(DETA),然后再缓慢滴加0.2 mL 磷酸(85wt%)。将混合物搅拌均匀后,装入带有聚四氟乙烯衬里的不锈钢反应釜中,与180  $^{\circ}\text{C}$  晶化7 d。产物用超声波分离,用去离子水洗涤,过滤,室温下干燥,得到立方块状晶体。

### 1.3 $\text{Mn}_2\text{Al}_4(\text{PO}_4)_6[\text{Ni}(\text{DETA})_2]$ (MnAPO-CHA)

#### 晶体结构的测定

MnAPO-CHA的单晶衍射数据在Siemens Smart CCD 1000衍射仪上收集。使用经石墨单色化的Mo  $K\alpha$ 线( $\lambda=0.071\ 073\text{nm}$ ),温度为 $293\pm 2\text{ K}$ ,以 $\omega$ 扫描方式收集数据。数据还原用SAINT程序进行<sup>[13]</sup>。共收集到6145个衍射数据,其中1409个独立衍射数据( $R_{\text{int}}=0.093\ 8$ )。结构用SHELXTL 5.1程序解析<sup>[14]</sup>。利用直接法确定Al、Mn、Ni和P原子的位置,然后用差值Fourier合成和最小二乘法找出C、N、O原子位置,用最小二乘法对结构进行修正。DETA分子中的C原子以无序的方式存在于3个可能位置,占有率均为 $2/3$ 。由于C原子的无序,无法准确找到H原子位置,也没有进行理论加氢。化合物的

$M_r=1\ 052.7$ ,晶体属于三方晶系, $R\bar{3}$ 空间群,晶胞参数: $a=1.387\ 0(2)\text{ nm}$ , $c=1.522\ 2(3)\text{ nm}$ , $V=2.536\ 0(7)\text{ nm}^3$ , $Z=3$ 。

CCDC:688179。

## 2 结果与讨论

### 2.1 化合物的XRD表征

如图1(A)所示,MnAPO-CHA的X射线粉末衍射谱图与根据单晶结构模拟的X射线粉末衍射谱图,二者相吻合,这表明合成的产物是纯相,只是相对强度有所不同,衍射强度的差别可能是由于晶体在粉末样品中的取向所致。图1(B)所示为MnAPO-CHA、ZnAPO-CHA及CoAPO-CHA的X射线粉末衍射谱图,可以看出这3个化合物是同构的。

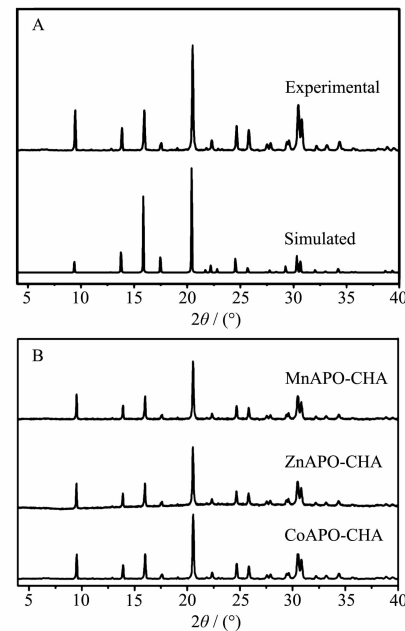


图1 (A) MnAPO-CHA 的实验与模拟的 XRD 谱图,(B) MnAPO-CHA, ZnAPO-CHA 和 CoAPO-CHA 的 XRD 谱图

Fig.1 (A) Experimental and simulated X-ray power diffraction patterns for MnAPO-CHA, (B) X-ray power diffraction patterns for MnAPO-CHA, ZnAPO-CHA and CoAPO-CHA

### 2.2 元素分析和热重分析

MnAPO-CHA的组成分析表明C、N、H、Al、Mn、Ni和P的含量(%)分别是9.95,8.25,3.24,10.61,11.58,6.19,17.81,与晶体结构分析给出的化合物 $(\text{Mn}_2\text{Al}_4(\text{PO}_4)_6[\text{Ni}(\text{C}_4\text{H}_{13}\text{N}_3)_2])$ 的组成(%)C 9.10,N 7.98,H 2.48,Al 10.30,Mn 10.33,Ni 5.68,P 17.65基本一致。

ZnAPO-CHA 的组成分析表明 C、N、H、Al、Zn、Ni 和 P 的含量(%)分别是 8.89, 7.90, 2.37, 10.32, 12.36, 5.58, 17.65, 与根据 MnAPO-CHA 分子式推出的 ZnAPO-CHA ( $Zn_2Al_4(PO_4)_6[Ni(C_4H_{13}N_3)_2]$ ) 的组成(%)C 8.95, N 7.83, H 2.45, Al 10.05, Zn 12.18, Ni 5.47, P 17.31 基本一致。

CoAPO-CHA 的组成分析表明 Al、Co、Ni 和 P 的含量(%)分别是 9.82, 10.38, 5.17, 17.79, 其 Co:Al:Ni:P 约为 1:2:0.5:3, 可以推测其分子式可能为  $Co_2Al_4(PO_4)_6[Ni(C_4H_{13}N_3)_2]$ 。

图 2 所示为 MnAPO-CHA(样品在真空烘箱 120 ℃处理 4 h)的热失重谱图。样品的失重共有 1 个阶段, 在 80~350 ℃, 归属于化合物 MnAlPO-CHA 中 DETA 分子部分脱出; 在 350~600 ℃, 归属于其余模板剂分子 DETA 的分解脱出, 总的失重量约为 20.14%, 与理论失重量 19.56% 接近。

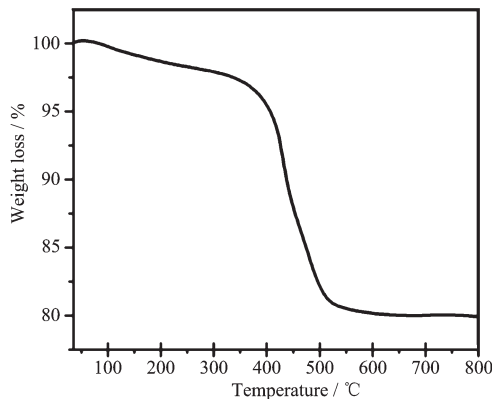


图 2 MnAPO-CHA 的热失重曲线

Fig.2 TG curve of MnAPO-CHA

### 2.3 晶体结构

单晶结构表明 MnAPO-CHA 属于三方晶系,  $R\bar{3}$

表 1 MnAPO-CHA 的键长和键角数据

Table 1 Bond lengths (nm) and angles (°) for MnAPO-CHA

Al(1)-O(4)#1	0.180 2(6)	Al(1)-O(3)#2	0.180 2(6)	Al(1)-O(2)	0.180 9(6)
Al(1)-O(1)#3	0.182 2(5)	P(1)-O(1)	0.150 3(5)	P(1)-O(4)	0.150 4(5)
P(1)-O(3)	0.151 3(5)	P(1)-O(2)	0.151 6(5)		
O(4)#1-Al(1)-O(3)#2	110.1(3)	O(4)#1-Al(1)-O(2)	102.9(3)	O(3)#2-Al(1)-O(2)	113.0(3)
O(4)#1-Al(1)-O(1)#3	111.3(3)	O(3)#2-Al(1)-O(1)#3	112.3(3)	O(2)-Al(1)-O(1)#3	106.8(3)
O(1)-P(1)-O(4)	110.5(3)	O(1)-P(1)-O(3)	110.5(3)	O(4)-P(1)-O(3)	109.0(4)
O(1)-P(1)-O(2)	108.6(4)	O(4)-P(1)-O(2)	107.5(4)	O(3)-P(1)-O(2)	110.8(4)
P(1)-O(1)-Mn(1)#4	145.1(4)	P(1)-O(1)-Al(1)#4	145.1(4)	P(1)-O(2)-Al(1)	141.2(4)
P(1)-O(3)-Al(1)#2	148.6(4)				

Symmetry transformations used to generate equivalent atoms: #1:  $x-y-2/3, x-1/3, -z+2/3$ ; #2:  $-x-2/3, -y-1/3, -z+2/3$ ; #3:  $-y-2/3, x-y-1/3, z-1/3$ ; #4:  $-x+y-1/3, -x-2/3, z+1/3$ .

空间群, 分子式为  $Mn_2Al_4(PO_4)_6[Ni(C_4H_{13}N_3)_2]$ 。如图 3 所示, 每个不对称结构单元包含 1 个 P 原子、1 个 Al 原子(Mn 原子)和 1 个 Ni 原子。P 原子与 Al(Mn) 原子都为四配位,  $PO_4$  与  $AlO_4(MnO_4)$  严格交替排列连接成三维结构。其中, Mn 原子与 Al 原子占据同一位置, Mn/Al 比根据电荷平衡<sup>[4]</sup>确定, 并与元素分析结果相一致。化合物的 Mn/Al 比为 1/2, 是目前报道的具有 CHA 骨架的 AlPO 中 Mn 掺杂量最高的。据我们所知, 到目前为止只有 3 篇具有 CHA 结构的 Mn 掺杂磷酸铝<sup>[15~17]</sup>, 都命名为 MnAPO-34, Mn/Al 比分别为 0.13/0.42<sup>[15]</sup>、0.04/0.45<sup>[16]</sup> 和 0.05/0.96<sup>[17]</sup>。MnAPO-CHA 的掺杂量比较高, 但并没有影响到化合物的热稳定性, 化合物可以稳定到 450 ℃。

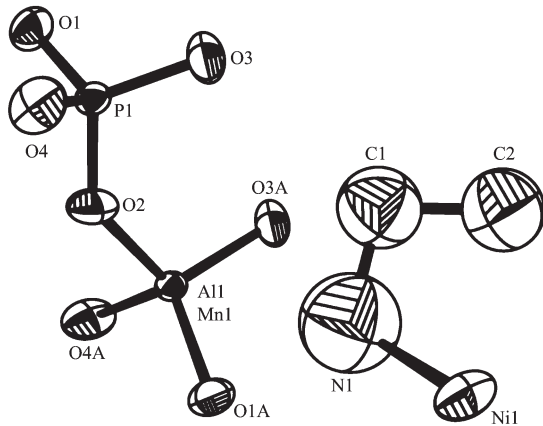


图 3 MnAPO-CHA 的热椭球图(30%)  
Fig.3 Thermal ellipsoid plot (30% probability) and atomic labeling scheme of MnAPO-CHA

MnAPO-CHA 的键长和键角数据列于表 1。MnAPO-CHA 具有沿着 [010]、[100] 和 [110] 方向的三维八元环孔道(图 4)。其无机骨架结构中含有交替的

MnAPO-CHA 的键长和键角数据列于表 1。

MnAPO-CHA 具有沿着 [010]、[100] 和 [110] 方向的三维八元环孔道(图 4)。其无机骨架结构中含有交替的

双六元环与CHA[4<sup>12</sup>6<sup>2</sup>8<sup>6</sup>]笼。骨架结构还可以看成是由双六元环通过氧原子连接而形成的。Ni原子与二乙烯三胺分子配位形成Ni(DETA)<sub>2</sub><sup>2+</sup>离子，存在于CHA笼中(图5)，平衡骨架的负电荷。值得注意的是，由于Ni原子位于三重反轴上，使得周围的C原子无序振动(占有率为2/3)，并且使C、N原子的热椭球相对较大。

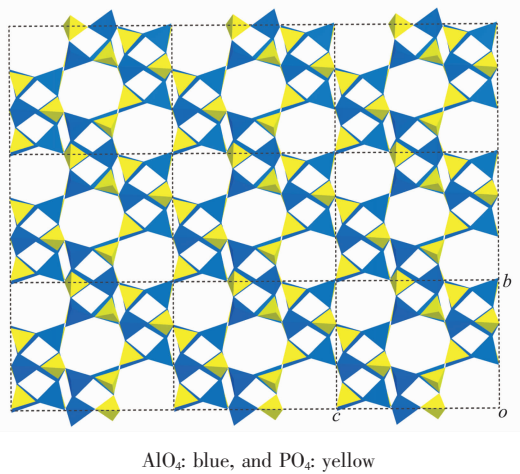


图4 MnAPO-CHA 沿着[100]方向的八元环孔道  
Fig.4 Crystal structure of MnAPO-CHA with 8- ring channels viewed along the [100] direction

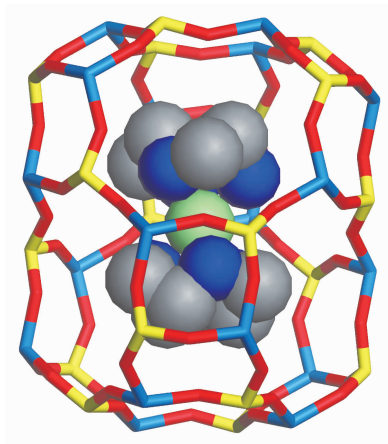


图5 存在于CHA笼中的Ni(DETA)<sub>2</sub><sup>2+</sup>离子  
Fig.5 Ni(DETA)<sub>2</sub><sup>2+</sup> cation in the CHA cage

### 3 结 论

在水热条件下，以自组装的镍胺配合物Ni(DETA)<sub>2</sub><sup>2+</sup>离子为结构导向剂，合成出具有CHA结构的一系列过渡金属取代磷酸铝化合物MeAPO-CHA(Me=Mn、Zn和Co)。其中，MnAPO-CHA的无机骨架结构是由PO<sub>4</sub>与AlO<sub>4</sub>(MnO<sub>4</sub>)严格交替排列连接成三维结构。Ni与二乙烯三胺分子原位生成Ni(DETA)<sub>2</sub><sup>2+</sup>存在于CHA笼中，平衡骨架负电荷，由于Ni(DETA)<sub>2</sub><sup>2+</sup>离子的电荷密度比较高，导致过渡金属Mn的掺杂量比较高，达到了Mn/Al为1/2。

### 参考文献：

- [1] Wilson S T, Lok B M, Messina C A, et al. *J. Am. Chem. Soc.*, **1982**, *104*:1146~1147
- [2] Yu J, Xu R. *Acc. Chem. Res.*, **2003**, *36*:481~490
- [3] Yu J, Xu R. *Chem. Soc. Rev.*, **2006**, *35*:593~604
- [4] Feng P, Bu X, Stucky G D. *Nature*, **1997**, *388*:735~741
- [5] Bu X, Feng P, Stucky G D. *Science*, **1997**, *278*:2080~2085
- [6] Shi L, Li J, Yu J, et al. *Inorg. Chem.*, **2003**, *43*:2703~2707
- [7] Hartmann M, Kevan L. *Chem. Rev.*, **1999**, *99*:635~664
- [8] Thomas J M, Raja R, Sankar G, et al. *Nature*, **1999**, *398*:227~230
- [9] Li Y, Zhang H, Li Y, et al. *Micro. Meso. Mater.*, **2006**, *97*:1~8
- [10] Gray M J, Jasper J D, Wilkinson A P, et al. *Chem. Mater.*, **1997**, *9*:976~980
- [11] Garcia R, Shannon I J, Slawin A M Z, et al. *Micro. Meso. Mater.*, **2003**, *58*:91~104
- [12] Garcia R, Philp E F, Slawin A M Z, et al. *J. Mater. Chem.*, **2001**, *11*:1421~1427
- [13] SMART and SAINT Software Packages; Siemens Analytical X-ray Instruments, Inc.: Madison, WI, **1996**.
- [14] Sheldrick G M. SHELXL Program, Version 5.1; Siemens Industrial Automation, Inc.: Madison, WI, **1997**.
- [15] Ashtekar S, Chilukuri S V V, Prakash A M, et al. *J. Phys. Chem.*, **1996**, *100*:3665~3670
- [16] Tuel A, Arcon I, Tusu N N, et al. *Micro. Mater.*, **1996**, *7*:271~284
- [17] Rajic N, Gabrovsek R, Ristic A, et al. *Thermochimica Acta*, **1997**, *306*:31~36